УЛК 529.213

СТЕКЛООБРАЗОВАНИЕ В СИСТЕМЕ AS-SE-SBBR₃

© 2024 г. Самигуллин М. Э.*, Белых А. В.**, Михайлов М. Д.*, **, Семенча А. В.*. Тверьянович А. С.***

*Санкт-Петербургский политехнический университет Петра Великого, 195251, Россия, Санкт-Петербург, Политехническая ул., 29 e-mail: samigullin18@vandex.ru

AO «НПО Государственный оптический институт им. С.И. Вавилова», 192171, Россия, Санкт-Петербург, Бабушкина ул., 36, к.1 *Санкт-Петербургский государственный университет, 199034, Россия, Санкт-Петербург, Университетская набережная 7—9

Поступила в редакцию 11.07.23 После доработки 30.05.24 Принята к публикации 9.07.24

Исследовано стеклообразование в системе As-Se-SbBr₃. Стекла синтезированы плавлением шихты из As, Se и SbBr₃ при температуре 700 °C. Измерены плотность стекол и оптическое поглощение в ИК-области спектра. Методом дифференциального термического анализа (ДТА) определены значения температур стеклования и кристаллизации. Структура стекол исследована методом спектроскопии комбинационного рассеяния. Высказано предположение, что бромид сурьмы входит в состав стекла в виде изолированных молекул, не обмениваясь бромом с селенидом мышьяка. Исследованные стекла перспективны для производства легкоплавких ИК-клеев, линз и окон для различных приборов ИК-оптоэлектроники методом прецизионного прессования.

Ключевые слова: халькогенидные стекла, мышьяк, селен, бромид сурьмы,

структура, синтез, ИК-спектроскопия

DOI: 10.31857/S0132665124040099, EDN: QBMFXI

ВВЕДЕНИЕ

Халькогенидные стекла применяются для изготовления линз и окон в оптико-электронных системах тепловизионных приборов различного назначения [1, 2]. Главные достоинства халькогенидных стекол как материалов для инфракрасной оптики - высокая прозрачность и потенциально низкие оптические потери в ИК-области от 0.7 до 17 мкм, низкая энергия фононов, низкая склонность к кристаллизации стекол некоторых составов, высокое значение нелинейного показателя преломления, химическая стабильность. Объективы с линзами из халькогенидных стекол дают изображение по качеству, не уступающему объективам с асферическими линзами из германия и селенида цинка [3].

Интерес к получению новых и расширению использования известных составов халькогенидных стекол связан с использованием галогенов с целью понижения температуры синтеза стекла и его температуры стеклования. В ряде работ отмечено, что повышение стойкости к кристаллизации аморфных (стеклообразных)

халькогенов и халькогенидных стекол можно достичь введением в состав этих материалов галогенов (бром, йод), а также ряда галогенидов s и p-металлов, что в конечном итоге позволяет получить низкие температуры перехода в жидкое состояние при прессовании оптических элементов [4-6].

Известные способы получения галогенсодержащих халькогенидных стекол при введении в их состав простых веществ — галогенов, особенно брома и хлора, трудоемки и взрывоопасны, что осложняет получение стекол с заданными составом и свойствами [7]. Эта проблема отчасти решается введением в состав стекла галогенов в виде их соединений, преимущественно галогенидов металлов [8, 9].

Цель данной работы заключается в исследовании стеклообразования в системе $As-Se-SbBr_3$ и исследовании свойств полученных стекол. Введение брома в виде слаболетучего соединения с сурьмой существенно упрощало процедуру загрузки шихты и синтеза стекла. Исследованные стекла можно рассматривать как прототип более сложных стекол для применения в мультиспектральных оптико-электронных системах.

МЕТОДИКИ ЭКСПЕРИМЕНТА

Для синтеза стекол систем As_2Se_3 - $SbBr_3$ и $AsSe_4$ - $SbBr_3$ использовали мышьяк производства компании АДВ-Инжиниринг чистотой 99.999 %. Селен марки 17-4 для синтеза стекол был получен от компании НПК ЛЕНПРОМХИМ. Высокочистый ультрасухой бромид сурьмы чистотой 99.999 % поставлен компанией ЛАНХИТ.

Навески селена и мышьяка помещали в кварцевую ампулу вакуумировали и прогревали в вакууме при 200 °С в течение 30 мин. После этого в ампулу добавляли бромид сурьмы и дополнительно вакуумировали, перед отпайкой. Прогрев шихты в вакууме существенно влияет на содержание в стеклах примеси оксидов селена и мышьяка. Это было показано на примере стекол системы As-Se в работе [10].

Стекла синтезировались в качающейся электрической печи при максимальной температуре синтеза 700 °C в течение не менее 4 ч при перемешивании расплава, с последующей закалкой расплава на воздухе. Для выбора оптимальных условий синтеза и термической предыстории закалка расплавов производилась от 400 и 500 °C, соответственно.

Плотность стекол измеряли гидростатическим методом с контролем плотности воды по монокристаллу германия с известной плотностью. Погрешность измерения плотности не превышала 0.01 г/см^3 . Спектры поглощения измеряли с помощью Фурье ИК-спектрометра ФСМ — 120 на плоскопараллельных полированных образцах толщиной от 3 до 10 мм. Кривые дифференциально термического анализа (ДТА) получали с помощью установки "Термоскан-2". Температуру начала деформации определяли методом вдавливания кварцевого индентора при нагрузке 10 г. Вязкость расплава при этой температуре равна примерно 10^8 Пз [11]. Спектры комбинационного рассеяния в диапазоне $100-500 \text{ см}^{-1}$ снимали на спектрометре Senterra (Bruker), длина волны возбуждения 785 нм.

РЕЗУЛЬТАТЫ И ИХ ОБСУЖДЕНИЕ

Синтезированы сплавы составов, принадлежащих двум разрезам As_2Se_3 - $SbBr_3$ и $AsSe_4$ - $SbBr_3$. Однородные образцы были получены до максимальной

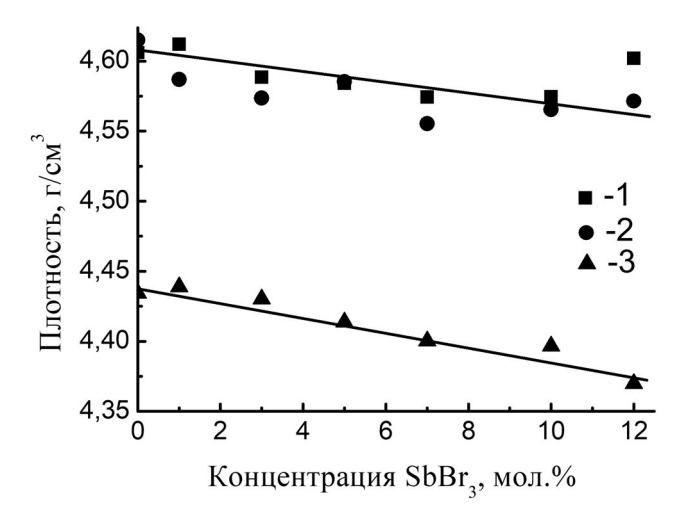


Рис. 1. Зависимость плотности стекол системы As-Se-SbBr₃ от содержания бромида сурьмы. $1-(As_{40}Se_{60})_{100-x}(SbBr_3)_x-$ закалка от 500 °C; $2-(As_{40}Se_{60})100_{-x}(SbBr_3)_x-$ закалка от 450 °C; $3-(As_{20}Se_{80})_{100-x}(SbBr_3)_x-$ закалка от 450 °C.

концентрации $SbBr_3$ 30 мол.%. Образцы, имеющие концентрацию $SbBr_3$ более 12 мол.% были частично закристаллизованными и поэтому были исключены из исследования.

На рис. 1 приведена зависимость плотности стекол от концентрации бромида сурьмы. Плотность стекол лежит в пределах 4.58-4.62 г/см³, имея тенденцию к уменьшению при росте содержания бромида сурьмы от 0 до 12 мол.%. Полученные значения плотности для стекол $\mathrm{As}_{40}\mathrm{Se}_{60}$ и $\mathrm{As}_{20}\mathrm{Se}_{80}$ согласуются с литературными данными [12]. Имеется разница между плотностью стекол, полученных закалкой от температуры 450 и 500 °C, однако она несущественно превышает погрешность измерений.

Примеры спектров поглощения стекол As-Se-SbBr $_3$ приведены на рис. 2 в сравнении со спектрами стекол без бромида сурьмы. ИК спектры поглощения в области 2—25 мкм у стекол (As $_{40}$ Se $_{60}$) $_{100-x}$ (Sb $_{25}$ Br $_{75}$) $_x$ и (As $_{20}$ Se $_{80}$) $_{100-x}$ (Sb $_{25}$ Br $_{75}$) $_x$ подобны спектрам стекол As $_{40}$ Se $_{60}$ и As $_{20}$ Se $_{80}$, соответственно. Введение бромида сурьмы в селенид мышьяка не приводит к изменению области прозрачности стекол в важном для практики интервале длин волн от 8 до 12 мкм.

С повышением содержания $SbBr_3$ изменяется величина поглощения в районе длин волн от 11 до 17 мкм, обусловленного примесями оксида мышьяка в форме As-O-As (15.4 мкм). Эти изменения не носят систематического характера, и появление примесных полос можно объяснить частичным гидролизом $SbBr_3$ ($SbBr_3 + H_2O = SbOBr + 2HBr$), при работе с ним на воздухе и обменом примесным кислородом и селеном матрицы стекла между атомами сурьмы и мышьяка.

ДТА выполнялся в два этапа. Так как в ампулу для снятия термограмм первоначально вносится порошок стекла, то пики, которые могут отвечать за поверхностную кристаллизацию стекла на участке от 200 до 400 °C, выражены более ярко. Второй этап ДТА заключался в использовании ампул, в которых плавлением порошков были получены монолитные образцы стекол. Это позволило оценить роль поверхностной кристаллизации. Примеры кривых ДТА приведены на рис. 3.

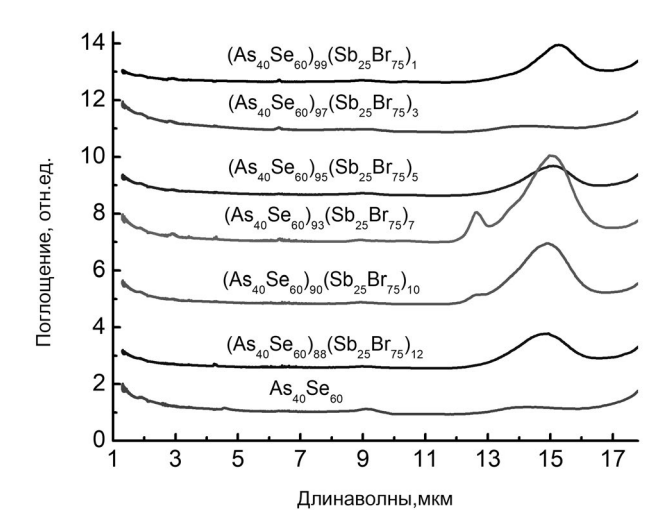


Рис. 2. ИК-спектры поглощения стекол $(As_{40}Se_{60})_{100-x}(Sb_{25}Br_{75})_x$ закаленных от 450 °C.

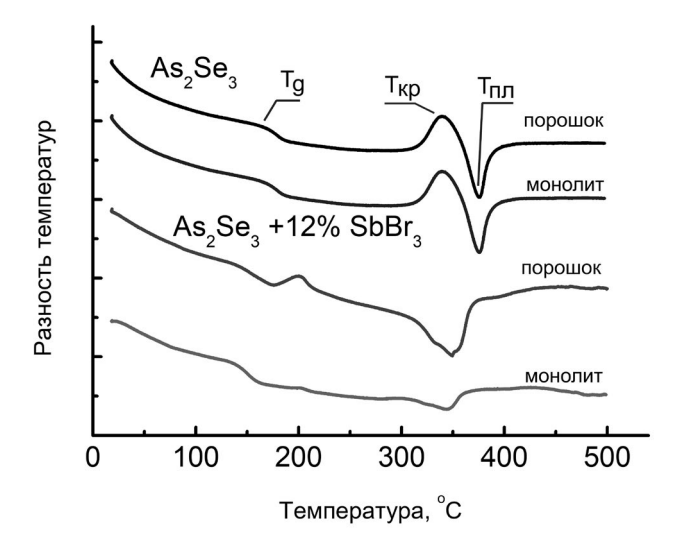


Рис. 3. Дифференциальные кривые стекол $(As_{40}Se_{60})_{100-x}(Sb_{25}Br_{75})_x$ закаленных от 400 °C. a — порошок, δ — литое стекло.

Кристаллизационная способность порошков значительно выше, чем монолитных, что отражается на величине эффектов кристаллизации и плавления. С увеличением содержания $SbBr_3$ пик, который отвечает за кристаллизацию стекла, смещается в низкотемпературную область. У порошков стекол появляется еще один пик кристаллизации в области температур порядка 200 °C, величина которого увеличивается с ростом концентрации $SbBr_3$.

Значения температуры стеклования порошкообразных и литых образцов практически одинаковы. На рис. 4 видна тенденция к понижению температуры стеклования (T_g) от 168 до 139 °C с ростом содержания в стеклах бромида

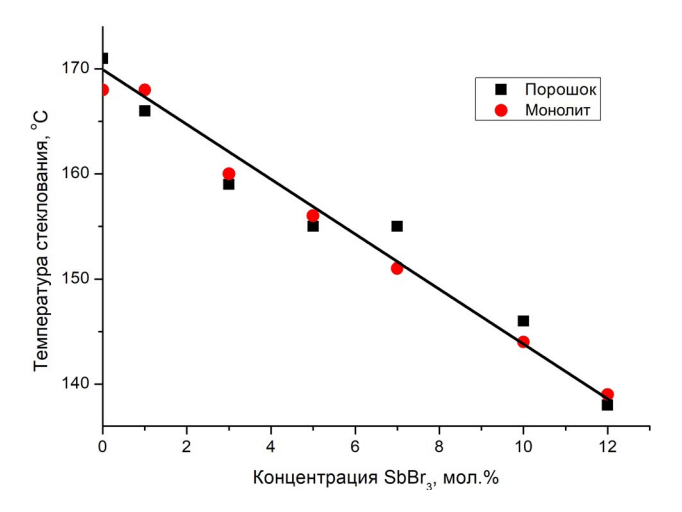


Рис. 4. Зависимость температуры стеклования от состава для стекол $(As_{40}Se_{60})_{100-x}(Sb_{25}Br_{75})_{x}$.

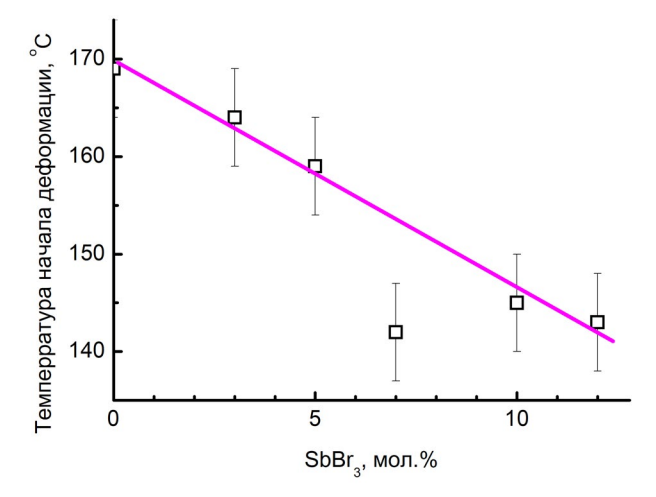


Рис. 5. Зависимость температуры деформации от состава стекол системы $(As_{20}Se_{80})_{100-x}(Sb_{25}Br_{75})_{x}$.

сурьмы. В то же время при введении в стекло $As_{36}Se_{64}$ только сурьмы в количестве до 6 мол. %. Температура стеклования не меняется и остается в среднем равной 143 °C.

Температура начала деформации стекол $As_x Se_{100-x}$ растет от 70 до 225 °C при увеличении концентрации мышьяка от 5 до 25 мол. %. При введении бромида сурьмы температура начала деформации слегка понижается от 170 до 140 °C при увеличении концентрации бромида сурьмы до 12 мол. % в стеклах $(As_{20}Se_{80})_{100-x}(Sb_{25}Br_{75})_x$ (рис. 5). Стекла при этом не кристаллизуются.

Структуру стекол можно описать как раствор молекулярных группировок $SbBr_3$ в сетке стекла, построенной из тригональных структурных единиц $AsSe_{3/2}$ и цепочечных $SeSe_{2/2}$. Возможность протекания реакции обмена между As_2Se_3 и $SbBr_3$ контролировалась с помощью спектроскопии комбинационного рассеяния. На рис. 6 приведены KP спектры исходного селенида мышьяка и стекла,

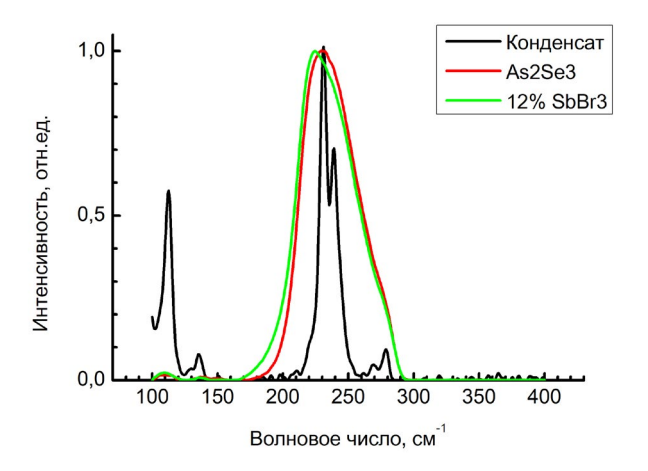


Рис. 6. КР спектры стекол и конденсата.

содержащего 12 мол. % бромида сурьмы. Видно, что при введении бромида сурьмы наблюдается лишь незначительный сдвиг максимума основной полосы селенида мышьяка с 231 до 224 см $^{-1}$.

При получении стеклокристаллических и кристаллических сплавов на холодных частях кварцевой ампулы конденсировалось небольшое количество белого кристаллического вещества. Его КР спектр также приведен на рис. 6. Спектр конденсата согласуется с литературными данными для бромида сурьмы [13], следовательно, данный возгон является бромидом сурьмы. Наиболее интенсивные полосы при 231 и 238 см⁻¹ полностью перекрываются с широкой полосой селенида мышьяка. Положения максимумов полос при этом также совпадают между собой. В то же время максимумы основной полосы в КР спектрах бромида мышьяка в стеклах лежат при 250 и 280 см⁻¹ [14], а в чистом бромиде мышьяка при 272 и 282 см⁻¹ [15, 16]. Таким образом, если бы в результате реакции обмена образовывался бромид мышьяка, в отличии от бромида сурьмы полосы его колебаний не полностью бы перекрывались с полосой, отвечающей колебаниям с.е. AsSe_{3/2}.

ЗАКЛЮЧЕНИЕ

Введение в состав халькогенидных стекол галогена в виде его нелетучего соединения гораздо более удобно с препаративной точки зрения. При этом свойства стекол системы As-Se при введении галогена в виде бромида сурьмы в стекла и при введении в виде чистого брома меняются с его концентрацией подобным образом. Исследованные стекла перспективны для производства методом прецизионного прессования заготовок, линз и окон для различных приборов ИК-оптоэлектроники.

КОНФЛИКТ ИНТЕРЕСОВ

Авторы данной работы заявляют, что у них нет конфликта интересов.

СПИСОК ЛИТЕРАТУРЫ

- 1. Kokorina V.F. Glasses for Infrared Optics. Roca Raton: CRC Press Inc. 1996. 236 p.
- 2. *Hilton A. R.* Chalcogenide Glasses for Infrared Optics. New York et al.: The McGraw-Hill Companies Inc. 2010. 279 p.
- 3. Bréhault A., Calvez L., Pain T., Ma H. L., Bigou D., Duchêne M., Adam P., Rollin J., Zhang X. H., Evaluation of chalcogenide glasses for multispectral imaging in the visible, SWIR and LWIR spectral regions, Proc. SPIE 9822, Advanced Optics for Defense Applications: UV through LWIR. 2016. Vol. 9822. P. 982202.
- 4. *Heo J., Sanghera J.S., Mackenzie J. D.,* Chalcohalide glasses for infrared fiber optics, Optical Engineering, 1991. Vol. 30. P. 470–479.
- 5. Ashida T., Okada A., Wakasugi T., Kadono K. Glass formation and properties of glasses based on Ga₂S₃—Sb₂S₃ systems incorporated with CsX (X = Cl, Br, I) and AgCl, Journal of the Ceramic Society of Japan, 2018. Vol. 126. P. 452–461.
- Krylov N.I., Blinov L.N., and Polyakova V.V., Halogen-Chalcogenide and Oxyhalogenide Semiconductor and Dielectric Glasses: Production and Properties, Glass Physics and Chemistry, 2021. Vol. 47. P. 544

 –547.
- Krylov N.I., Blinov L.N. Halogen-Containing Chalcogenide Glasses: Synthesis and Properties, Glass Physics and Chemistry, 2017. Vol. 43. P. 326–329.
- 8. Wang D., Cheng J., Chen W. Formation and properties of GeS₂–Ga₂S₃–KX (X= Cl, Br, I) glasses, Physics and chemistry of glasses, 2001. Vol. 42. P. 139–143.
- 9. Yang Z., Tang G., Luo L., Chen W. Visible transparent GeSe₂-Ga₂Se₃-KX (X= I, Br, or Cl) glasses for infrared optics, Journal of the American Ceramic Society. 2007. Vol. 90. P. 667-669.
- 10. Белых А.В., Михайлов М.Д., Самигуллин М.Э., Семенча А.В., Тверьянович А.С. Структура и оптические свойства стекол системы As-Se, Оптический журнал. 2022. Т. 89. С. 72–79.
- 11. Немилов. С.В. Оптическое материаловедение: физическая химия стекла. Виртуальные лабораторные работы. СПб: Изд. ИТМО. 2008. 65 с.
- 12. *Mohan R., Panchapagesan T.S., Rao K.J.* Density, microhardness and electron microscopic studies of As-Se glasses. Bull. Mater. Sci., Vol. 3. Number 1. February. 1981. P. 29–36.]
- 13. Loewenschuss A., Gerull N.I., Angermann S., Brockner W., Vibrational spectra of solid, molten and matrix isolated antimony tribromide, SbBr₃, Polyhedron. 1997. Vol. 16. P. 1161–1167.
- Koudelka L., Horak J., Pisárčik M., & Sakal L., Structural interpretation of raman spectra of (As₂S₃)_{1-x} (AsBr₃)_x system glasses. Journal of Non-Crystalline Solids. 1979. Vol. 31. P. 339–345.
- 15. Loehr T.M., Plane R.A. Raman spectra of arsenic trichloride in water and alcohols and the spectrum of arsenic tribromide, Inorganic Chemistry. 1969. Vol. 8. P. 73–78.
- 16. *Miller F.A.*, *Baer W.K.* The vibrational spectra of vanadium oxytribromide and arsenic tribromide, Spectrochimica Acta. 1961. Vol. 17. P. 112–120.